

## **Improvement From Additive Noise Removing From Digital Images using Filter mean**

### **تحسين الصور الرقمية لازالة الضوضاء الجماعية باستخدام مرشح المعدل**

م. أوراس موسى عمران  
قسم الفيزياء – كلية العلوم- جامعة كربلاء  
E-mail: Auras.M.Omran@yahoo.com

#### **الخلاصة**

أن أنظمة التصوير عادة لا تعطي صورا تامة ومثالية وإنما غالبا ما تعطي من تشوهات وضوضاء واتي غالبا ما تحدد وضوحية الصورة . حيث إن الصورة الناتجة ذات حافات عريضة وغير حادة غالبا وذلك بسب محدودية أنظمة التصوير او بسب استخدام مرشحات لإزالة الضوضاء . إن أهم معلومات الصورة تكون محتواه في حافات وحدود مناطق الصورة المختلفة . لذا فان تخمين جودة الصورة يجب إن لا تأخذ بشكل عام لكل مستوى الصورة من دون تميز مناطق الصورة المهمة . لذلك اتجهنا في دراستنا إلى تقييم الصورة بالاعتماد على حساب التباين والانتروبي و معدل مربع الخطأ لمناطق الحافات في الصورة وإيجاد المعايير الكمية الرصينة لتقييم جودة الصورة ومن ثم كفاءة المعالجة المختلفة للصورة الرقمية . اعتمدنا في دراستنا تأثيرات عملية تعميم الصورة لإزالة الضوضاء (الكاوسية ) بشكل متتابع باستخدام مرشح المنوال وتحديد مقدار التشوه والغشاوة في الصورة وتم ذلك باعتماد معايير تقييم الجودة المقترنة في هذه الدراسة .

#### **Abstract**

Imaging systems always not give a perfect and ideal images . But , give degraded and noisy images , ( i.e. reduce the image resolution ) .when the parodied images with non , sharp edges . This causes from imaging systems limitation or from using digitized smoothing filters reduce image noise .The important image information contained in the image edge regions .So , when we want to estimate image quality must not be take for all image plane without recognize the important image regions . The most image evaluation criterion not duped mainly on determine the image edge and fine detail quality .But duped on evaluate the global quality for all image plane , or for only the homogenous regions . So that in this study and introduce anew approaches to evaluate image quality by Most image evaluation measurement don't depend on determining image edges quality and its sharpness , but depend on general evaluation for all image plane , therefore , in this paper we shall examine the image quality by calculate the contrast , entropy , and the mean of error square in the image measurements to evaluate the image goodness and then the efficiency of different processing for digital image .

We depend on effects of image smoothing to remove Gaussian noise by using (average filter mean filter )and determine the amount of blurring in image.

#### **المقدمة Introduction**

يمكن للبعض أن يتصور أن المعالجة الرقمية للصور تعني فقط عمليات تزيين الصور و إدخال بعض الزخارف و الرسوم عليها أو حذفها لظهور بعد ذلك في مظهر آخر يختلف عن الأصل. إلا أن المعالجة الرقمية للصور تتعدى ذلك بل إنها في الحقيقة تكاد لا تهتم بهذا الجانب من معالجة الصور أصلا. حيث أنه يتم هنا التركيز على التشفير الرقمي المناسب للصور و إيجاد طرائق معالجة هذه البيانات الرقمية حتى تكون هذه الصور أو المعلومات التي تحملها الصور قابلة للاستعمال من قبل الآلة [1]. حيث أن الصورة الناتجة تكون ذات حافات عريضة وغير حادة وان أهم معلومات الصورة تكون محتواه في هذه الحافات وحدود مناطق الصورة لذا فأن تخمين جودة الصورة يجب أن لا تأخذ بشكل عام لكل مستوى الصورة من دون تميز مناطق الصورة المهمة [2] .

ان الصور الرقمية مكونة من مئات الآلاف أو ملايين المربعات الصغيرة وتدعى عناصر الصورة أو بيكسلات ، فعندما يبدأ الحاسوب برسم الصورة فإنه يقوم بتقسيم الشاشة أو الصفحة المطبوعة إلى شبكة من البيكسلات وبعد ذلك يستخدم القيم المخزنة

للحصورة الرقمية ليعطي كل بيكسيل لونه وسطوعه . وتدعى هذه الطريقة توضع الخانات bit mapping وتدعى الصور bit-maps [3].

تعتمد جودة الصورة الرقمية على عدد البيكسلات المكونة لها فكلما ازداد عدد البيكسلات فإنه يؤدي إلى نوعية أفضل . إذا ما تم تكبير الصورة الرقمية إلى حد معين ( يختلف من صورة لأخرى ) يلاحظ ظهور تشوه معين ناتج عن كون الصورة مركبة من بيكسلات ، ويدعى هذا التشوه Pixelization وكلما كان عدد البيكسلات كبيراً كلما تأخر ظهور هذا التشوه عند الكبير [4]. يحدد حجم الصورة بطريقتين إما بأبعادها بالبيكسلات أو بعدد البيكسلات المكونة لها . مثلاً الصورة نفسها يمكن أن يقال أن حجمها  $1600 \times 1600$  بيكسيل أو أن حجمها 2.88 مليون بيكسيل ( $1600 \times 1800$ ) [5].

### **تحسين الصورة image enhancement**

ويقصد بها تلك العمليات التي يتم بها إيضاح بعض التفاصيل المهمة في الصورة أو التركيز على بعض الصفات والسمات موضع الأهمية من الصورة . من أبسط الأمثلة على هذه العملية هو زيادة التباين في الصورة وذلك فقط لأن البشر يرون في ذلك وضع أفضل وأيسر لرؤيه وفهم محتويات الصورة .

#### **2- الضوضاء والعيوب في الصور الرقمية**

ان اسباب ظهور الضوضاء في الصورة الرقمية عديدة ودرجة تشويهها للصورة مختلفة بحسب نوع الضوضاء وتتأثر اتها بأول عملية تؤدي الى ظهورها هي عملية اكتساب او تسجيل الصورة الرقمية والتي يتم من خلالها تحويل الصورة الرقمية إلى إشارة كهربائية تخضع لعملية التقسيم والتكميم Sampling and quantization عند الانتقال خطوة خطوة لتسجيل الصورة تحدث هناك تقلبات بسبب الظواهر الطبيعية في مركبات منظومة التصوير ومحيطها تؤدي إلى إضافة قيم عشوائية إلى القيم الأصلية للإضاءة لكل عنصر من عناصر الصورة[4] والضوضاء المرافق إلى الصورة الناتجة من أنظمة التصوير المختلفة بأنماط مختلفة معتمدة على نوع النظام التصويري وطبيعة الموجات المستخدمة فيه وعلى ما يحيطها من ظروف بيئية إثناء عملية التصوير أو العرض[5].

يمكن تحديد رؤية الضوضاء Visibility في الصورة بالاعتماد على ما يلي[6].

1. نوع نمط الضوضاء.
2. شدة الضوضاء كمقدار وتشمل التغير Variance والمدى الديناميكي Dynamic Range والتوزيع الاحصائي Distribution Histogram.

#### **3. خلفية (أرضية) الصورة Background diagnostics of noise in Image**

1- تشخيص الضوضاء في الصورة diagnostics of noise in Image لمعرفة نوع الضوضاء وخصائصها الإحصائية في الصورة تحتاج إلى معرفة لنظام التصوير المستخدم وظروف التصوير لكن في بعض الأحيان تكون هذه البيانات المعلوماتية غير متوفرة ويجب استخلاصها من الصور مباشرة وذلك كما يلي:-

1. تحديد الخصائص الإحصائية للضوضاء ومن ثم تحديد نوع الضوضاء والتي تعتمد عادة على التحليل البصري للصورة مع الأخذ بنظر الاعتبار المعرفة الأولية بنوع نظام التصوير الذي أنتج تلك الصورة[7].
2. معرفة الموديل الرياضي للضوضاء في الصورة والتي تتم عن طريق التحليل النظري للضوضاء بالاستناد إلى معلومات أولية مسبقة عن نظام التصوير[8].

#### **3- مرشحات إزالة الضوضاء وتقنيات تخمين الجودة المقترنة**

دراسة التشوهات التي تسببها المرشحات الرقمية لإزالة الضوضاء الجمعية (المنتظم uniform) من الصورة حيث اعتمدت مرشح رقمي هو مرشح المنوال لإزالة الضوضاء وطبقت على الصور الأصلية والصور المشوهة بالضوضاء ولحالات مختلفة. التشوهات الناتجة من استخدام هذه المرشحات تم اختبارها باستخدام عدد من المعايير الكمية المقترنة لتخمين جودة الصورة وكفاءة المرشح وهذه المعايير هي (معدل مربع الخطأ المعياري NMSE والانتروبي Entropy والتباين Contrast). كما اعتمدت معايير في اختبار مناطق الصورة المتباينة المستقطعة وهي حفظ المعدل Conservative of mean ونسبة الإشارة إلى الضوضاء SNR ومعدل مربع الخطأ المعياري NMSE والانتروبي entropy والتباين Contrast وقد تم بناء خوارزميات متعددة لهذا الغرض.

#### **1-3 Entropy**

الانتروبي هو عبارة عن مقياس لدرجة العشوائية randomness لمجموعة متغيرات عشوائية ويتم الحصول على العشوائية الصغرى عندما يكون أحد المتغيرات العشوائية أحادي ومنه يمكن أن نعرف نتيجة العشوائية [9].

#### **2-3 contrast**

التباين هو معيار مهم جداً في عملية تقييم معلومات الصورة الرقمية وتحديد مقدار التشوه الحاصل فيها . والتباين يحدد من مقدار الفصل الموعدي للعناصر من الصورة الرقمية وان هذا يظهر بوضوح في مناطق الحافات بين عناصر الصورة (أي المناطق المختلفة في الشدة الرمادية )، حيث أن الصورة ذات التباين – العالي تكون ذات فروق كبيرة في مستويات الشدة الرمادية لمناطق الصورة المجاورة [10].

4- معايير تخمين الجودة المقترنة  
تم في هذا البحث استخدام مرشح المنوال لإزالة الضوضاء الجمعية وقد اعتمدت حجم نافذة الترشيح  $3 \times 3$  و  $5 \times 5$  في دراسة الصور الناتجة من عملية الترشيح وذلك باختيارها باستخدام معايير جودة متعددة تجرى عملياتها الحسابية على مستوى الصورة كل للصورة الأصلية والمحسنة لغرض معرفة خصائصها الإحصائية والمقارنة بينها قبل عملية الترشيح وبعدها بيان تأثير الضوضاء وبيان تأثير التشوّه الذي تسببه المرشحات المعتمدة في إزالة الضوضاء.

وهذه المعايير هي حساب NMSE1 لكل الصورة وحساب NMSE2 والتباين والانتروبي وحفظ المعدل ونسبة الإشارة إلى الضوضاء SNR في مناطق متجانسة مستقطعة من الصورة كما تم حساب التباين والانتروبي للصورة ككل فضلاً عن حسابها في مناطق الصورة المتجانسة ومناطق الحافات لنسبة الإشارة إلى الضوضاء SNR تحسب SNR لكل منطقة متجانسة مستقطعة للصورة الأصلية والمشوّبة والمعالجة وذلك باعتماد المعادلة التالية [11]:-

$$SNR = \frac{\bar{I}}{\sigma_I} \quad (1)$$

معدل مربع الخطأ المعياري (NMSE)

اعتمد هذا المعيار على حساب معدل مربع الخطأ المعياري بين الصورة الأصلية  $R(x,y)$  والصور  $\hat{R}(x,y)$  وذلك باستخدام العلاقة التالية:-

$$NMSE = \frac{1}{L} \sum_{x,y}^L (R(x,y) - \hat{R}(x,y))^2 \quad (2)$$

L : عدد البيانات التي خضعت للمقارنة

#### 4- الكشف الحافي The Edge Detection

تعرف عملية كشف الحواف بأنها تعتمد بصورة أساسية على عدم الاستمرار في دالة التجانس لصفات مناطق الصورة أي إن الحواف ظاهرة قد يكون سببها عدم استمرار في قيم المستويات الرمادية . ولكي تكون عملية الكشف الحافي فعالة وكفؤة يفضل إزالة الضوضاء وتقليل تأثيرها قبل الكشف الحافي ويتم ذلك باستخدام نوافذ بأحجام  $3 \times 3$  أو  $5 \times 5$  وتحديد مجلل التأثير بها لكشف الحافات أو اعتماد معالجة أولية قبل استخدام مرشحات التعميم لإزالة الضوضاء ثم استخدام مؤثرات الكشف الحافي إن عملية تحليل الصور واستنتاج المعلومات منها تعتمد بشكل كبير على طرق الكشف الحافي وتحديد الحافات والحدود للمناطق والأجسام إن مؤثرات الكشف الحافي عادة تكون على شكل نوافذ لحساب الانحدار (gradient) في قيم الشدة الرمادية للصورة [12].

#### 5- النتائج والمناقشة والاستنتاجات

درست مقدار استقرارية الشدة الرمادية (ثبات المعدل  $\mu$ ) ومقدار نسبة الإشارة إلى الضوضاء SNR في مناطق الصورة المتجانسة وتأثير عملية الترشيح على هذه المعاملات. كما تم دراسة معاملات إحصائية جديدة لتحديد خصائص أخرى للصورة في مناطقها المتجانسة وهي التباين والانتروبي فضلاً عن ذلك دراسة التباين والانتروبي لمناطق الصورة المختلفة حيث درست على كل مستوى الصورة وفي مناطقها الحافية ومناطقها غير الحافية وذلك لتحديد مقدار العشوائية في الصورة ومقدار الغواشية الناجمة عن استخدام وتكرار عملية التعميم بواسطة المرشحات.

#### 5-1 الصورة المعتمدة في الدراسة

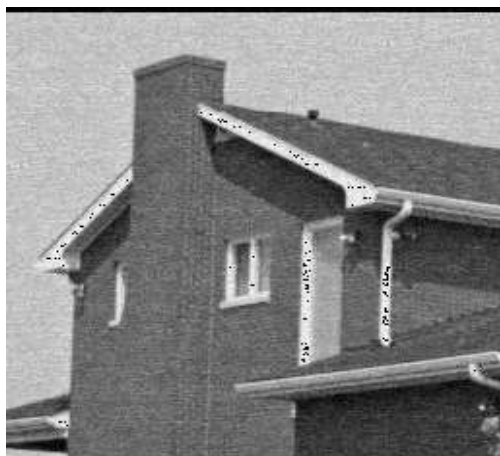
لقد اعتمدت صورتان في الدراسة وهي صورتا لينا Lena Image والبيت House Image وهما صورتان حقيقيتان خاليتان من التشوّهات بحجم (256x256) عنصر ومستويات الشدة الرمادية لهما تتراوح ما بين (0 → 255).

#### 5-2 نتائج تحسين الصور المشوّبة بضوضاء جمعية

لقد اعتمد على الضوضاء الكاوسيّة Gauussion noise في دراستي هذه بانحراف معياري  $\sigma = 5$  و  $\sigma = 10$  وبمعدل  $\mu = 0$ . حيث قمت بإضافة الضوضاء الكاوسيّة إلى الصورة الأصلية الخالية من الضوضاء للحصول على صورة مشوّبة بالضوضاء الكاوسيّة وهذه الصورة موضحة بالشكل (1).



Original Image



Noisy Image  $\sigma = 10$

الشكل (1) يوضح الصورة الأصلية لينا والبيت و الصور المشوهة بضوضاء كاوسيه بنسبة مختلفة .



Noise Image  $\sigma = 5$

تابع لشكل (1)

## مجلة جامعة كريلاء العلمية - المجلد العاشر - العدد الثالث/ علمي / 2012

ثم قمت بدراسة تأثير استخدام المرشح الرقمي التقليدي (المعدل mean) لاختزال هذه الضوضاء ودراسة مقدار التشوهات التي يسببها هذه المرشح الناتج من تطبيقه توضح ذلك .

no . itr =1



no . itr =2



no . itr =3



Mean Filter 3\*3



Mean Filter 3\*3

no . itr =1



no . itr =2



no . itr =3



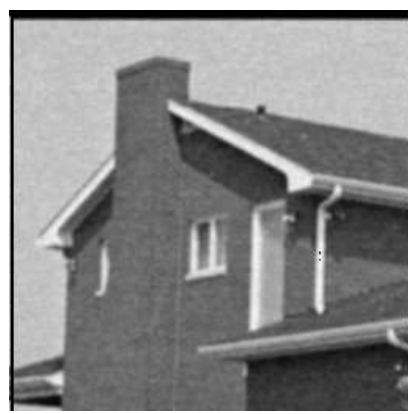
Mean Filter 5\*5



Mean Filter 5\*5



Mean Filter 3\*3  
G noise  $\sigma = 10$



Mean Filter 3\*3  
G noise  $\sigma = 10$



Mean Filter 5\*5  
G noise  $\sigma = 10$



Mean Filter 5\*5  
G noise  $\sigma = 10$



Mean Filter 3\*3  
G noise  $\sigma = 5$



Mean Filter 5\*5  
G noise  $\sigma = 5$

### 3- نتائج الاختبارات الكمية

تم اختيار او قطع خمسة مقاطع من مناطق متجانسة من الصورة ذات معدلات شدة رمادية مختلفة ( $\mu$ ) كما في الشكل .(5-5)



الشكل (2) المناطق المستقطعة لصورتي لينا و البيت الاصليتين والجدائل (1) و(2) يوضح خصائص هذه المناطق المستقطعة من معدل وانحراف معياري لصورتي البيت ولينا على التوالي.

(2) يمثل لينا

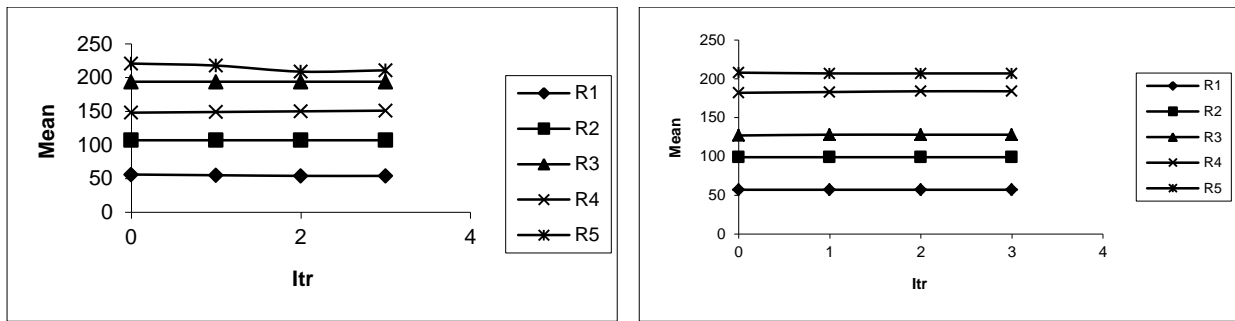
(1) يمثل البيت

	Mean ( $\mu$ )	STD ( $\sigma$ )
R1	56	6.55
R2	107	7.41
R3	148	6.24
R4	194	29.02
R5	221	16.57

	Mean ( $\mu$ )	STD ( $\sigma$ )
R1	57	5.61
R2	99	6.97
R3	127	6.74
R4	182	10.48
R5	208	6.81

حيث إن هذه المناطق المتجانسة درست خصائصها قبل وبعد إضافة الضوضاء وبعد تطبيق مرشح التتعيم المنوال حيث درست قيم المعدل  $\mu$  وقيم نسب الإشارة إلى الضوضاء SNR . في هذه المناطق وتأثيرها بعملية الترشيح وتكرارها حيث تم ملاحظة بان المعدل  $\mu$  تقريبا ثابت مستقر في جميع الحالات ولجميع المرشحات .

حيث نلاحظ ثبات المعدل ( $\mu$ ) مع عدد التكرارات عملية التتعيم itr في صورة لينا بينما في صورة البيت يحدث تغير في قيم المعدل ( $\mu$ ) مع عدد التكرارات لعملية التتعيم itr في المناطق المتجانسة كما في الشكل (3).

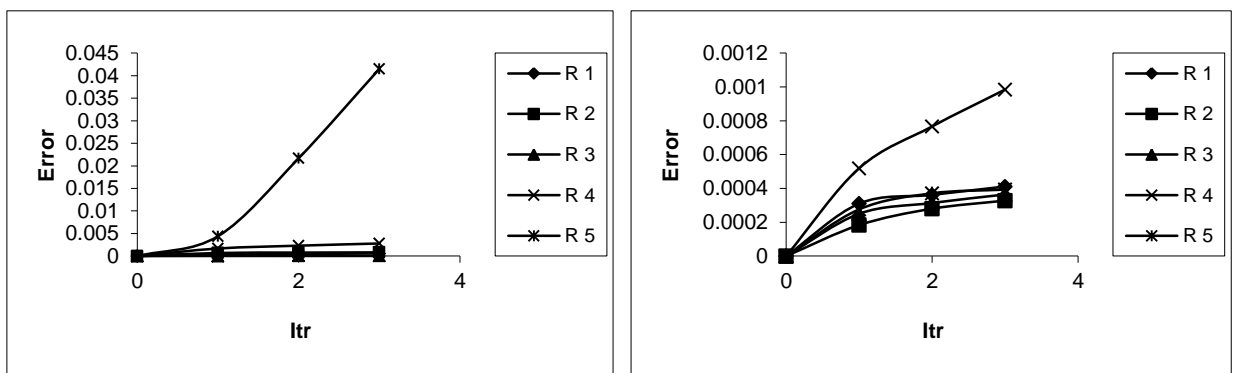


Mean Filter 5\*5

(ب)

(أ)

الشكل (3) توضح هذه العلاقة بين عملية عدد تكرارات التunning Itr مع معدل للمناطق المتGANSA المستقطعة من صورتي أ-لينا وب-البيت الأصليين . لاحظ نافذة التunning 5\*5. نلاحظ اختلاف بسيط وملحوظ مما يدل إن هذا المرشح له تأثير على المعدل . إما في معدل مربع الخطأ العياري للمناطق المستقطعة نلاحظ زيادة في مقدار NMSE2 في المناطق المتGANSA للصورة بزيادة عدد مرات التunning كما نلاحظ بشكل عام انخفاض هذا الخطأ عند استخدام نافذة 5\*5 وجود مناطق متGANSA ملحوظة في صورتي لينا والبيت كما في الشكل (4) على التوالي .

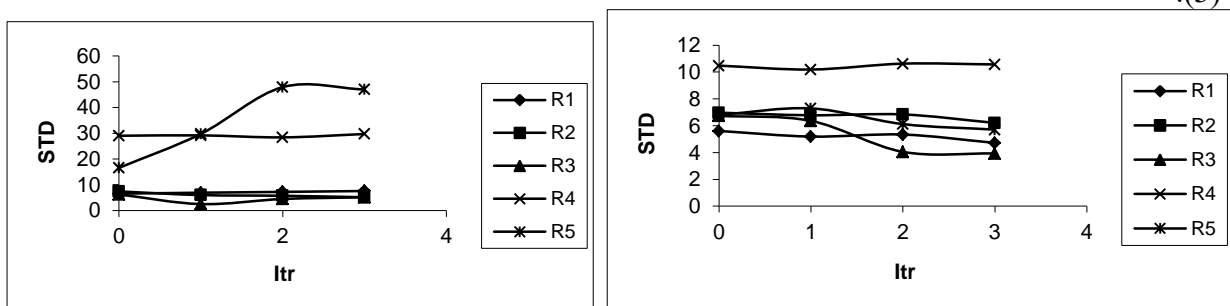


Mean Filter 5\*5

(ب)

(أ)

الشكل (4) تبين هذه الرسوم العلاقة بين عدد تكرارات عملية التunning(Itr) مع NMSE للمناطق المتGANSA من صورتي أ-لينا وب-البيت . لحجم نافذة تunning 5\*5 .  
نلاحظ تغير بسيط في STD للمناطق المستقطعة مما يدل على عدم وجود الضوضاء التي تؤثر على صورتي لينا والبيت كما في الشكل (5).



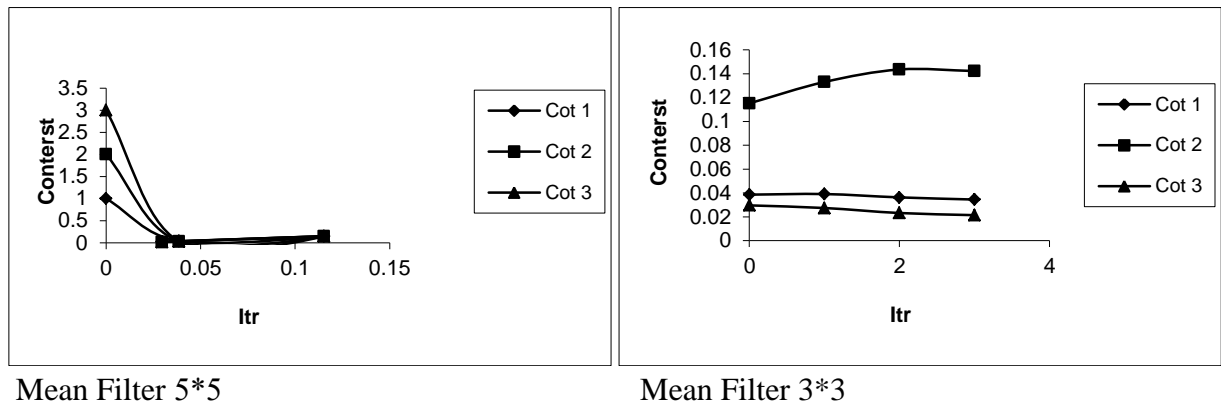
Mean Filter 5\*5

(ب)

(أ)

الشكل (5) الرسوم تبين العلاقة بين عدد تكرارات عملية التunning (Itr) مع STD إلى الضوضاء للمناطق المتGANSA من صورتي أ-لينا وب-البيت الأصليين على التوالي . ولنافذة تunning 5\*5 .

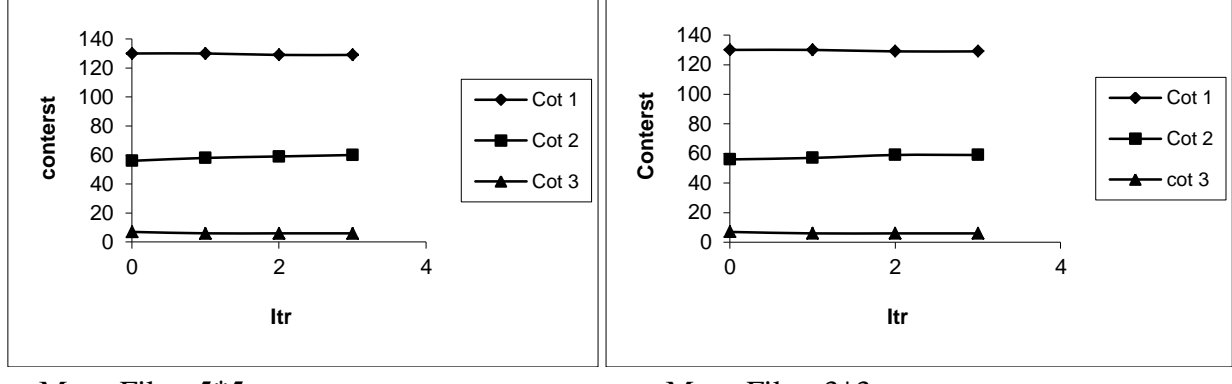
إما التباين لكل الصورة فإنه يتأثر بشكل واضح عند استخدام عملية التعميم حيث إن هناك تغيراً بسيطاً في التباين وخاصة في المناطق الحافيه في صورتي لينا والبيت كما في الشكل (6)(7) على التوالي.



Mean Filter 5\*5

Mean Filter 3\*3

الشكل (6) ينبع التباينات لكل مستوى الصورة Cot1 وللمناطق الحافيه Cot2 ولمناطق غير الحافيه Cot3 لصورة لينا .. وباستخدام نوافذ (5\*5 ,3\*3) .

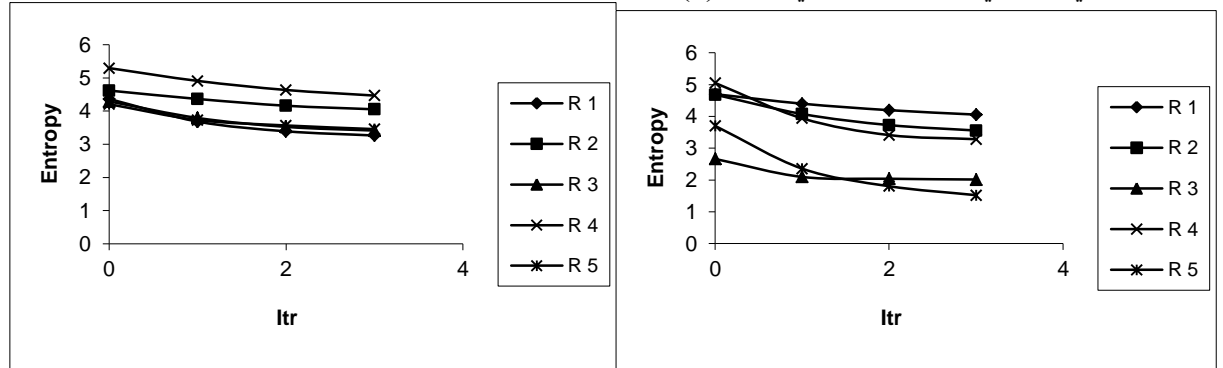


Mean Filter 5\*5

Mean Filter 3\*3

الشكل (7) ينبع التباينات لكل مستوى الصورة Cot1 وللمناطق الحافيه Cot2 ولمناطق غير الحافيه Cot3 لصورة بيت .. وباستخدام نوافذ (5\*5 ,3\*3) .

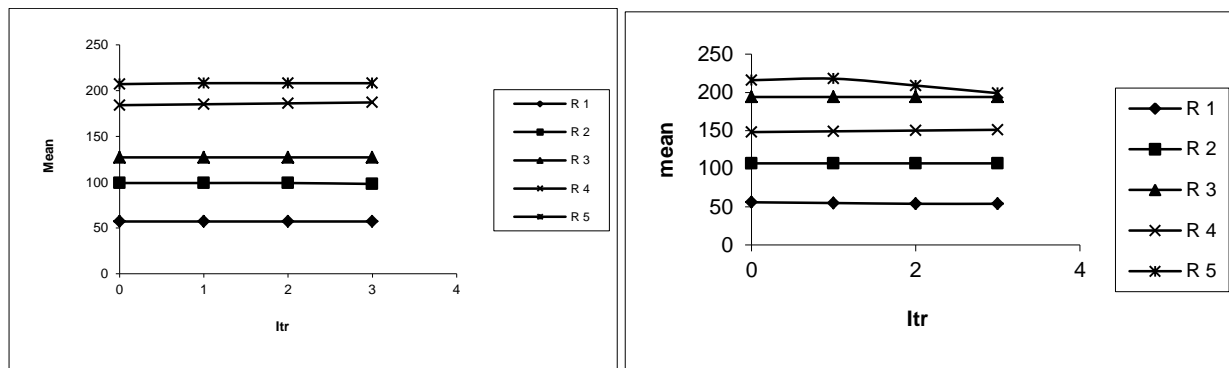
والانتروبي للمناطق المستقطعة نلاحظ عدم وجود تغير واضح في الانتروبي وذلك لعدم تأثير النظام وعدم تشوّه ترتيبه لذلك فإنه شبه مستقر في صورتي لينا والبيت كما في الشكل (8).



Mean Filter 5\*5

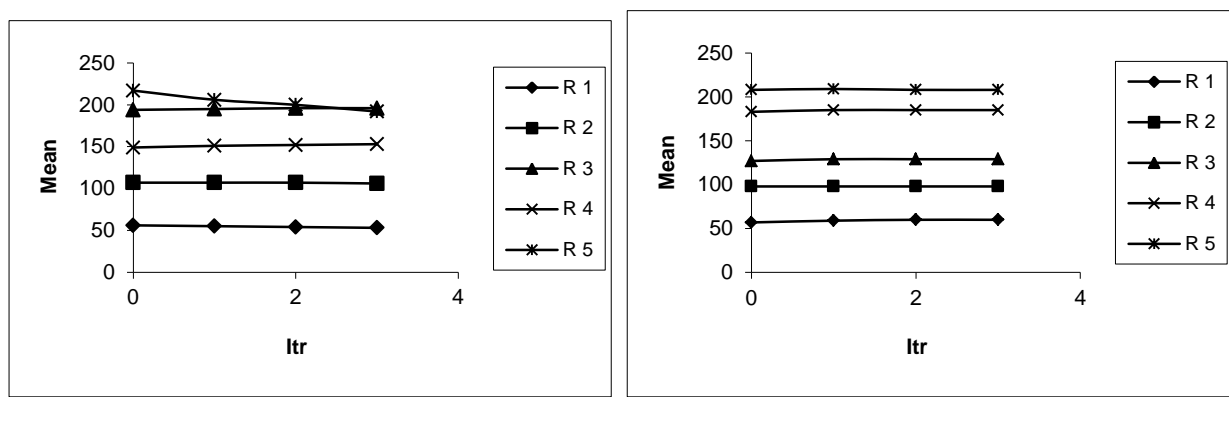
(ب) (ج)  
الشكل (8) يبيّن العلاقة بين عدد التكرارات عملية التعميم(Itr) مع الانتروبي للمناطق المستقطعة من صورتي أ- لينا وب- البيت الأصلتين على التوالي . لحجم نافذة تعميم 5\*5

و عند إضافة الضوضاء الكاوسيّة ذات الانحراف المعياري  $\sigma = 5$  إلى صورتي البيت ولينا حيث نلاحظ فيها عدم تغير المعدل ( $\mu$ ) بالنسبة لعدد التكرارات عملية التعيم itr بينما في صورة البيت يكون تغيير بسيط مما يدل على وجود الضوضاء التي أدت إلى التغيير كما في الشكل (9) و(10) على التوالي .



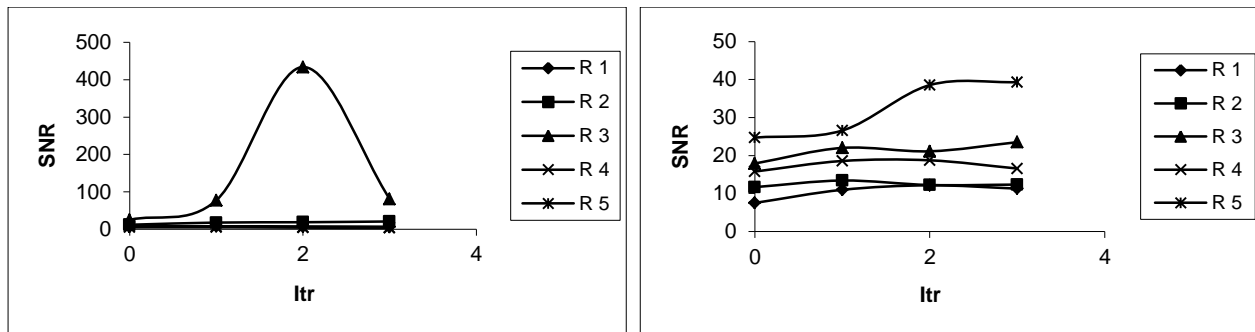
Mean Filter 5\*5  
(ب) (أ)

الشكل (9) تبيّن هذه الرسوم العلاقة بين عدد التكرارات عملية التعيم (Itr) مع معدل للمناطق المستقطعة لصورتي أ. لينا وب-. البيت المشوبتين بالضوضاء الكاوسيّة ذات انحراف معياري  $\sigma = 5$  لحجم نافذة التعيم  $5 \times 5$  .



(ب) (أ) Mean Filter

الشكل (10) يبيّن العلاقة بين عدد التكرارات عملية التعيم (Itr) مع معدل للمناطق المستقطعة لصورتي لينا وب-. البيت المشوبتين بالضوضاء الكاوسيّة ذات انحراف معياري  $\sigma = 10$  لحجم نافذة التعيم  $5 \times 5$  .  
اما بالنسبة إلى نسبة الإشارة إلى الضوضاء SNR للمناطق المستقطعة المتجانسة نلاحظ عند إضافة ضوضاء ذات الانحراف المعياري  $\sigma = 5$  إلى صورتي البيت ولينا فأنا نلاحظ تناقص في قيم المرشح عند استخدام نافذة  $5 \times 5$  إما بالنسبة إلى صورة البيت فأنا نلاحظ في هذه الرسوم القيم تبدأ بالتناقص بالنسبة إلى نفس المرشح في انحراف معياري  $\sigma = 5$  و  $\sigma = 10$  على التوالي بسبب وجود المنطقة المتجانسة كما في الشكل (11) و(12) على التوالي .

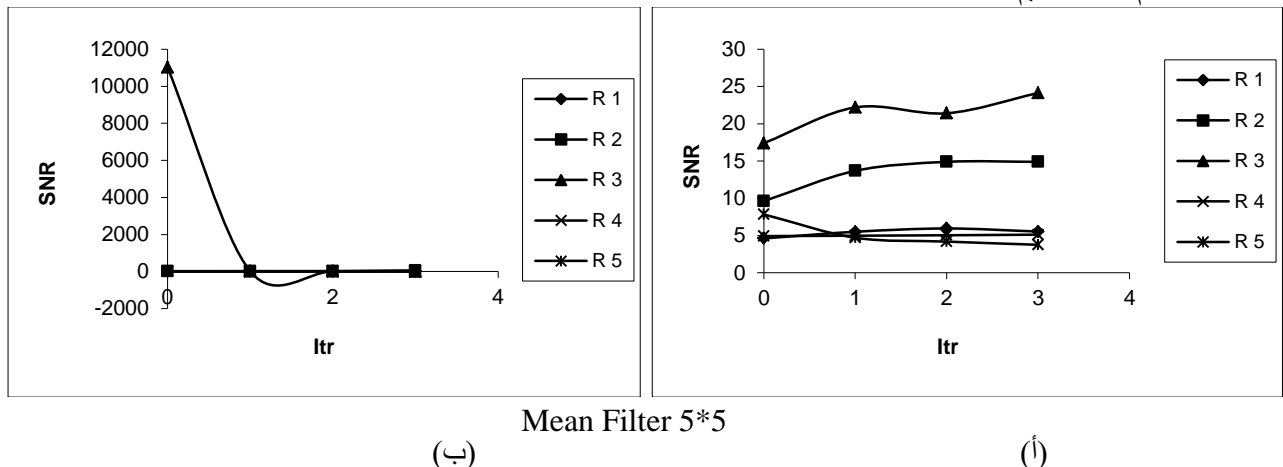


Mean Filter

(ب)

(أ)

الشكل (11) توضح هذه الرسوم العلاقة بين عدد التكرارات عملية التعيم (Itr) مع نسبة الإشارة إلى الضوضاء للمناطق المستقطعة المتاجنة لصورتي أـ لينا وبـ البيت المشوبتين بالضوضاء الكاوسي ذات انحراف معياري  $\sigma = 5$  لحجم نافذة التعيم  $5 \times 5$ .



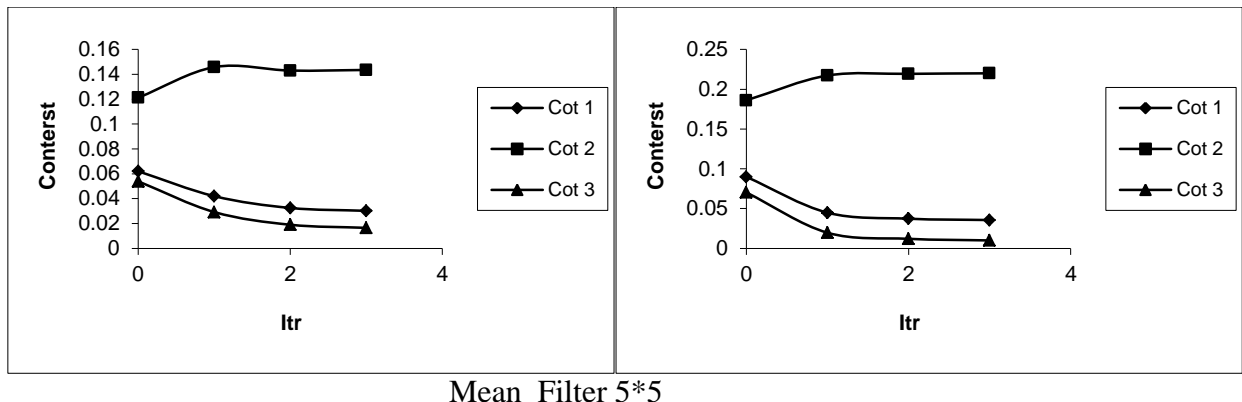
Mean Filter  $5 \times 5$

(ب)

(أ)

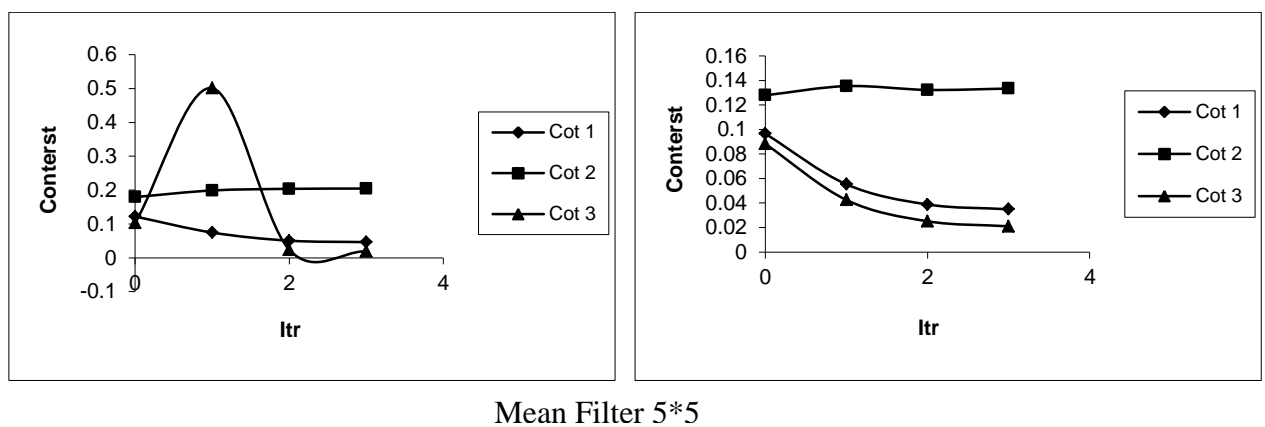
الشكل (12) توضح العلاقة بين عدد التكرارات عملية التعيم (Itr) مع نسبة الإشارة إلى الضوضاء للمناطق المستقطعة المتاجنة لصورتي أـ لينا وبـ البيت المشوبتين بالضوضاء الكاوسي ذات انحراف معياري  $\sigma = 10$  لحجم نافذة التعيم  $5 \times 5$ .

إما بالنسبة إلى التباين لكل الصورة نلاحظ بان قيم التباين لمناطق الصورة كل يكون عدد التكرارات لعملية التعيم  $Itr$  ثابتة تقريباً والتباين لمناطق الصورة المتاجنة وهذا التباين ينخفض بشكل واضح مع زيادة عدد مرات التعيم إما التباين لمناطق الحافية فإنه يزداد مع زيادة عدد مرات التعيم في صورتي لينا والبيت وعند إضافة ضوضاء ذات انحراف معياري  $\sigma = 10$  في صورة البيت كما في الإشكال (13) و(14) على التوالي ونلاحظ كذلك وجود استقرارية في القيم وظهور مناطق متاجنة ملحوظة وهذا التغير البسيط للمرشح يعود إلى صورتي لينا والبيت كما في الشكل (13) و(14) على التوالي.



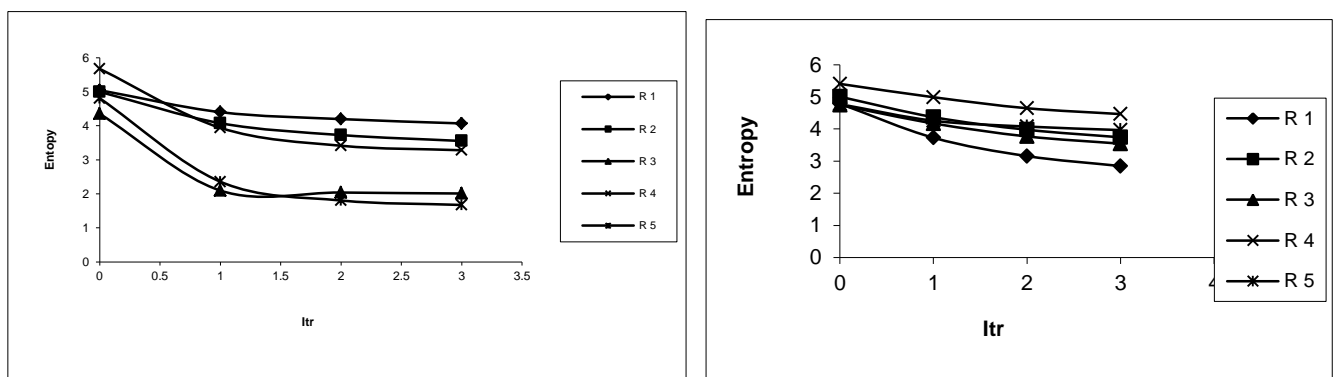
(ب)

الشكل (13) مع التباينات لكل مستوى الصورة Cot1 وللمناطق الحافية Cot2 وللمناطق غير الحافية Cot3 لصورتي أ- لينا وب- البيت المشوبتين بالضوبيات الكاوسيّة ذات انحراف معياري  $\sigma = 5$  لحجم نافذة التعميم  $5 \times 5$ .



Mean Filter 5\*5

الشكل (14) مع التباينات لكل مستوى الصورة Cot1 وللمناطق الحافية Cot2 وللمناطق غير الحافية Cot3 لصورتي أ- لينا وب- البيت المشوبتين بالضوبيات الكاوسيّة ذات انحراف معياري  $\sigma = 10$  لحجم نافذة التعميم  $5 \times 5$ . الانتروبي للمناطق المستقطعة نلاحظ عند إضافة الضوابط له ينخفض بشكل بسيط ولجميع مناطق الصورة المتباينة وبالنكرارات المتتابعة لعملية التعميم يبدأ المنحنى بالاستقرار في صورة لينا بينما في صورة البيت هناك تغير ملحوظ في القيم مما أدى إلى ظهور هذه الرسوم التي تدل على وجود الضوابط في المناطق المستقطعة كما في الشكل (15) و(16) وعلى التوالي

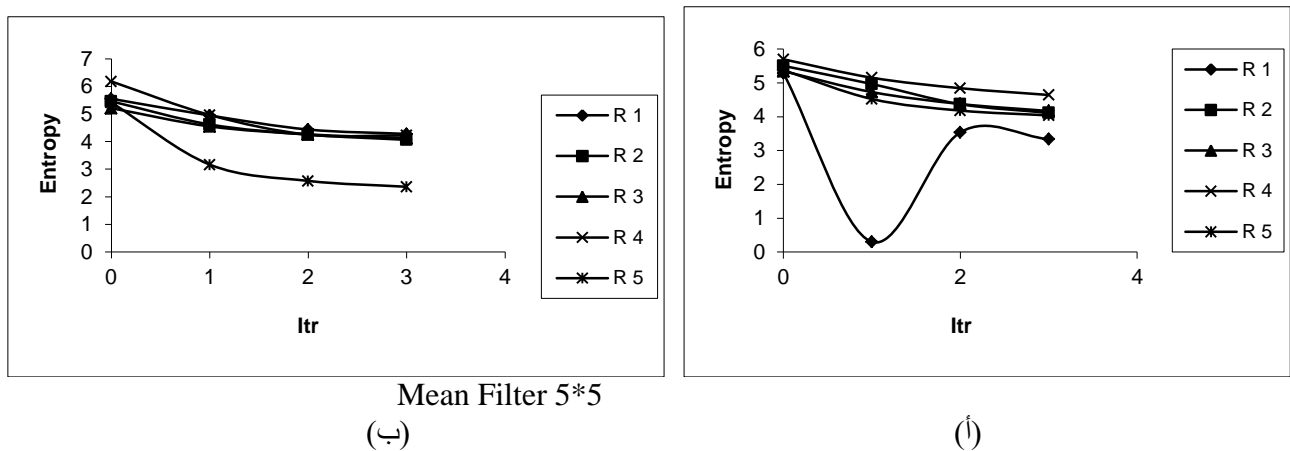


(ب)

Mean Filter 5\*5

(أ)

الشكل (15) تبين هذه الرسوم العلاقة بين عدد التكرارات عملية التعميم (Itr) مع انتروبي المناطق المستقطعة المتباينة لصورتي أ- لينا وب- البيت المشوبتين بالضوبيات الكاوسيّة ذات انحراف معياري  $\sigma = 5$  لحجم نافذة التعميم  $5 \times 5$ .



الشكل (16) توضح العلاقة بين عدد التكرارات عملية التعيم (Itr) مع انتروبي المناطق المستقطعة المتتجانسة لصورتي أ-لينا وب-البيت المشوبتين بال الموضوعات الكاوسيه ذات انحراف معياري  $\sigma = 10$  لحجم نافذة التعيم 5\*5 .

## Reference

1. Huda Shawki Khilil AL-Ghrabi, "Quantum analysis of noise in Photonic system", M.Sc. Thesis, physics Dept, College of Education for Woman, Baghdad University, (2001).
2. Nowak, R.D., "Wavelet – Domain filtering for photo Image systems", LEEE Transactions on Image processing, (1997).
3. S.E.Um baugh, "Computer nision and image processing". A partical approach using CVIP tools, prentice – Hall, PTR Upper. Saddle River, Nj 07458, (1998).
4. S.J.Sang wine and R.W.Novne, "The colour Image processing Hang. Book, ch apman and Hall, (1998).
5. Richard, L., Scheaffer and Meclaves., "Probabilty and statistics for Engineering" 2nd ed. Printed the U.S.A.(1986).
6. Sira "Color image processing", btp: ece.ut ac. Ir/class pages/ Image processing pdf, (seein 2003).
7. R.C.Gouzaalez, and R.E.Wood, "Digital image processing", prentice – Hall Inc., (2002).
8. Suha Hussein Ibraheem Al-A,Adamy. "Ultrsonic", Ultrasonic Report, physics Dept., College of Science, Al-Mustansiriya Univ, (2002).
9. Ali abid Dawood Al-Zukiy, "Quantum analysis of synthetic aperture radar (SAR) images". Ph.D.Thesis, collage of science, Baghdad Univ., (1998).
10. Kenueth, R., Castleman, "Digital Image processing", Prentice. Hall, (1979).
11. Ali Abid Dawood Al-Znky "Modify additive Lees filter by using circular smoothing window", Accepted to be published in collage of Education J., Al-Mustansiriya Univ, (2002).
12. Digital Image processing Dcumentation- [http://documents.Wolfrom.com/applications/digital image / users Guide /7-3.htm](http://documents.Wolfrom.com/applications/digital%20image%20/%20users%20Guide%20/7-3.htm)